

การจำลองในส่วนของระบบอากาศ-อนุภาคของแข็งในช่วงระยะเวลาเร่งของเครื่องขันถ่ายด้วยคอม



นายนิธิ นิกรปกรณ์

วิทยานิพนธ์นี้เป็นส่วนหนึ่งของการศึกษาตามหลักสูตรปริญญาวิศวกรรมศาสตรบัณฑิต

สาขาวิชาบริหารธุรกิจ ภาควิชาบริหารธุรกิจ

บัณฑิตวิทยาลัย จุฬาลงกรณ์มหาวิทยาลัย

ปีการศึกษา 2540

ISBN 974-638-261-6

ลิขสิทธิ์ของบัณฑิตวิทยาลัย จุฬาลงกรณ์มหาวิทยาลัย

๑๕ ๘.๔. ๒๕๔๕

SIMULATION OF GAS-SOLID PARTICLE FLOW IN THE ACCELERATION  
ZONE OF A PNEUMATIC CONVEYOR

Mr.Nithi Nikornprakorn

A Thesis Submitted in Partial Fulfillment of the Requirements  
for the Degree of Master of Engineering in Chemical Engineering

Department of Chemical Engineering in Chemical Engineering

Graduate School

Chulalongkorn University

Academic Year 1997

ISBN 974-638-261-6

Copyright of the Graduate School, Chulalongkorn University

Thesis Title                              Simulation of gas-solid particle flow in acceleration zone of a  
    pneumatic conveyor

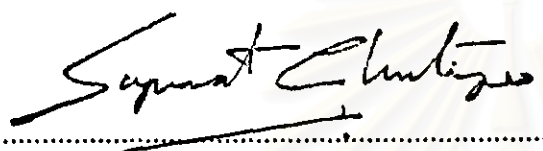
By                                         Mr. Nithi Nikornprakorn

Department                              Chemical Engineering

Thesis Advisor                         Dr. Somprasong Srichai

---

Accepted by the Graduate School, Chulalongkorn University, in partial fulfillment of  
the requirements for the Master's Degree.

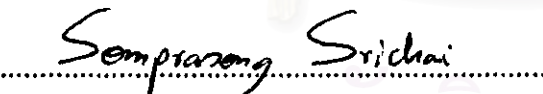
  
..... Dean of Graduate School

(Professor Supawat Chutivongse, M.D.)

Thesis Committee

  
..... Chairman

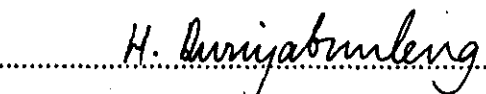
(Professor Wiwut Tanthapanichakoon, Ph.D)

  
..... Thesis Advisor

(Dr. Somprasong Srichai, Ph.D)

  
..... Thesis Co-Advisor

(Mr. Boon Yongyuthsuthikarn, B.Eng)

  
..... Member

(Dr. Hathaichanok Duriyabunleng, Ph.D)

## พิมพ์ดันฉบับปกด้วยอิฐยานินพน์ภายในกรอบสีเขียวเพียงแผ่นเดียว

นิพ. นิกรปกรณ์ : การจำลองไหลของระบบอากาศ-อนุภาคของเชิงในช่วงระยะเร่งของเครื่องขันต่ำคัวซัม (SIMULATION OF GAS-SOLID PARTICLE FLOW IN ACCELERATION ZONE OF A PNEUMATIC CONVEYOR) อ. ที่ปรึกษา : ดร. สมประสาร์ ทรีัช, อ. ที่ปรึกษาร่วม : นาชบุญ ฤทธิ์สุกี้การ, 131 หน้า, ISBN 974-638-261-6

งานวิจัยนี้เป็นการจัดตั้งแบบจำลองทางเชิงคัวเตขของปราศจากการให้ผลลัพธ์ฟื้ต ก๊าซ-อนุภาคของเชิง ในระยะเร่ง อนุภาคของห้องแมวตั้ง เพื่อประดุจศึกษาในกระบวนการสักษาปั๊หการกระแสตัวแก๊สกระถางของอนุภาคพูนผังท่อเนื้อตั้งของ เครื่องขันต่ำคัวซัมในกระบวนการผลิตเม็ดหินท่อ ก็อก ให้ใช้ เทคนิค CFD (Computational Fluid Dynamic) ในพิมพ์กรง กระบอก 2 มิติ ตัวซอฟต์แวร์คอมพิวเตอร์ PHOENICS V2.1 ซึ่งจะทำการคำนวณเชิงคัวเตขอย่างแบบจำลองการ ให้ผล “ของไหดต้องชนิด” ในช่วงการให้ผลปั๊ป่วน ส่วนแรกของงานวิจัยเป็นการประเมินความสามารถในการจัดตั้งการ ให้ผล ของแบบจำลองทางคณิตศาสตร์โดยใช้แบบจำลองการให้ผลปั๊ป่วน (Turbulence model) แบบต่างๆ ได้แก่ standard k-E model (Harlow-Nakayama [1968]), Chen-Wood [1986] และ Mostafa-Mongia [1988] ทำการจำลองตามสภาวะการ ให้ผลทางงานวิชาชีพ Tsuji et al. [1984] ผลจากการจัดตั้งอันได้แก่ไปไฟล์ความเร็วในแนวแกนห้องของก๊าซและ อนุภาคของเชิงและความเข้มของการให้ผลปั๊ป่วน (turbulent intensity) ของก๊าซ อ. ที่ความช้าท่อเป็น 70 เท่าของเส้น ผ่าศูนย์กลางห้องห่อซึ่งได้วินิจฉัยให้ก๊าซไม่การให้ผลตั้งแต่ต้นห่อแล้ว จะมีไปเปลี่ยนที่ห้องก๊าซร่องงานวิชาชีพ Tsuji et al. [1984] แบบจำลองที่พบว่าเหมาะสมมากการคำนวณได้แก่ Standard k-E model ( Harlow-Nakayama [1968]) ซึ่งให้ผลการ คำนวณหนึ่งก้อนแบบต่อจัง Chen-Wood [1986] และ Mostafa-Mongia [1988] การปรับปรุงการคำนวณค่าไป ไฟล์ความเร็วของอนุภาคของเชิงทำได้โดยเพิ่มเทอนของค่าความเดินเฉือนก๊าซในไฟล์อนุภาคของเชิงลงในสมการ อนุรักษ์ในแนวตั้งของไฟล์อนุภาคของเชิงซึ่งให้ผลการคำนวณที่ใกล้เคียงกับตัวของการทดสอบหนึ่งกว่าการคำนวณทาง แบบจำลองที่ตัดทึ่งห้องของก๊าซเดินเฉือนก๊าซในไฟล์อนุภาคของเชิง สรุปที่สองของงานวิจัยเป็นการประดุจศึกษา แบบจำลองที่ปะริเฝ้าในการจัดตั้งการ ให้ผล ในเครื่องขันต่ำห้องห่อ ก็อกตัวชุดแนวตั้งในระยะเร่งอนุภาคที่มีรูป แบบของการป้อนลมและอนุภาคเข้าสู่ห้องห่อแยกต่างกันได้แก่ รูปแบบการป้อนส่วนผสมอากาศ-อนุภาคเข้ามาในห้องห่อทั้ง พื้นที่ห่อ (Uniform inlet configuration) รูปแบบการป้อนส่วนผสมอากาศ-อนุภาคเข้าในพื้นที่ห้องหอนอกและป้อนอากาศ เข้าในพื้นที่แกนกลางห่อ (Mixture-around inlet configuration) และรูปแบบการป้อนส่วนผสมของอากาศ-อนุภาคเข้าใน พื้นที่แกนกลางของห่อและป้อนอากาศเข้าในพื้นที่ห้องหอนอกห่อ (Mixture-core inlet configuration) เพื่อศึกษาและ ประเมินผลความเชื่อมต่อระหว่างการลดความเดินเฉือนของอนุภาคพูนผังท่อ ผลการจัดตั้งปราศจาก รูปแบบการป้อนส่วน ผสมของอากาศ-อนุภาคเข้าในพื้นที่แกนกลางของห่อและป้อนอากาศเข้าในพื้นที่ห้องหอนอกห่อ (Mixture-core inlet configuration) ให้ผลต่อที่สุดในเชิงของการลดความเดินเฉือนและยังคงการลดความเดินเฉือนของอนุภาคพูนผังท่อ รายงานนี้จึง จัดตั้งการ ให้ผลตัวชูปแบบตั้งกล่าว โดยเปลี่ยนแปลงพื้นที่ป้อนส่วนผสมแกนกลางห่อ ผลการจัดตั้งปราศจากว่าความเชื่อม ต่อและอัตราการวนผันของอนุภาคพูนผังท่อต่อต้องเมื่อพื้นที่ป้อนส่วนผสมแกนกลางห่อต่อต้อง

วิทยานิพนธ์ที่ได้รับการอนุมัติเป็นสำเนาของบัตรถ่ายเอกสารของคุณปีชัยวนิช พิมพ์แต่เดียว

\*\* C717372 : MAJOR CHEMICAL ENGINEERING

KEY WORD: PNEUMATIC CONVEYING/ COMPUTATIONAL FLUID DYNAMICS

NITHI NIKORNPRAKORN : SIMULATION OF GAS-SOLID PARTICLE

FLOW IN ACCELERATION ZONE OF A PNEUMATIC CONVEYOR

THESIS ADVISOR : SOMPRASONG SRICHL, Ph.D. THESIS CO-ADVISOR:

MR. BOON YONGYUTHSUTHIKARN, B.ENG. 131 pp. ISBN 974-638-261-6

A computational simulation study of gas-solid particle flow in acceleration region of a vertical pipe has been carried out to examine pipe wall deposition of powders in a vertical pneumatic conveyor being a part of detergent production process. CFD (Computation Fluid Dynamics) technique in 2-D cylindrical coordinate is employed to compute two phase turbulent "Two-fluid" (Eulerian) model by using the CFD software "PHOENICS V.2.1". In the first part of this study, the model validation is performed by simulating the flow conditions of Tsuji et al [1984] using various two phase turbulent models. Computed gas and particle axial velocity profiles together with gas phase turbulent intensity profiles at  $70 * \text{diameter}$  of various turbulence models, namely, standard k- $\epsilon$  model (Harlow-Nakayama [1968]), model of Chen-Wood [1986] and model of Mostafa-Mongia [1988] are compared with experimental data obtained by Tsuji et al. [1984]. Obviously, Standard k- $\epsilon$  model (Harlow-Nakayama [1968]) is found to be better than Chen-Wood' model [1986] and Mostafa-Mongia' model [1988] in predicting experimental data of Tsuji et al.[1984]. The modification of particle velocity profile computation is treated by including particle shear stress term in particle momentum equation. Particle shear stress term inclusively incorporated with standard k- $\epsilon$  turbulence model computations yield better numerical results over those computed by particle shear stress term exclusive model. In the second part of this study, the validated model is applied to simulate airlift conveyor flow in acceleration zone. Airlift conveyor flow in three different inlet configurations, namely, uniform inlet configuration which air-powder mixture uniformly enters in entire pipe inlet area, mixture-annulus inlet configuration which air-powder mixture enters in annulus area of pipe and air only enters in core area of the pipe, mixture-core inlet configuration which air-powder mixture enters in core area of the pipe and air only enters in annulus area of the pipe are simulated in order to study and evaluate powder concentration in near-wall region and powder-wall collision rate. Simulation of the mixture-core inlet configuration case yields the most favorable results in view of reduction of powder concentration in near-wall region and powder-wall collision rate. This configuration is further studied by varying mixture-core inlet area. The simulation results show that powder concentration in near-wall region and powder-wall collision rate decrease as mixture-core inlet area decreases.

ภาควิชา วิศวกรรมเคมี

ลายมือชื่อผู้อธิการฯ *Jin Soo*

สาขาวิชา วิศวกรรมเคมี

ลายมือชื่ออาจารย์ที่ปรึกษา *Somprasong Srichai*

ปีการศึกษา 2560

ลายมือชื่ออาจารย์ที่ปรึกษาร่วม *Boon Yen*

## ACKNOWLEDGMENTS

I will begin by thanking my advisor, Dr. Somprasong Srichai, for the advice and encouragement he provided. He always put me back into the right position and guided me in the right direction. Next, I thank Mr. Boon Yongyuthsuthikarn, Senior Engineer of Lion (Thailand) Co. ltd., who used to be my supervisor and my co-advisor for this research, for his valuable technical opinion. Finally I would like to express my greatest gratitude to my family members for their endless support and encouragement.

This study is partially supported by the Senior Research Scholar Project, TRF (1997-1999).

สถาบันวิทยบริการ  
จุฬาลงกรณ์มหาวิทยาลัย

## CONTENTS

	<b>PAGE</b>
<b>ABSTRACT IN THAI .....</b>	<b>iv</b>
<b>ABSTRACT IN ENGLISH .....</b>	<b>v</b>
<b>ACKNOWLEDGMENT .....</b>	<b>vi</b>
<b>LIST OF FIGURES.....</b>	<b>viii</b>
<b>LIST OF TABLES .....</b>	<b>xi</b>
<b>NOMENCLATURE .....</b>	<b>xii</b>
<b>CHAPTER</b>	
<b>1 INTRODUCTION.....</b>	<b>1</b>
<b>2 LITERATURE REVIEW .....</b>	<b>4</b>
<b>3 MATHEMATICAL MODEL.....</b>	<b>15</b>
<b>4 COMPUTATIONAL FLUID DYNAMICS (CFD) TECHNIQUES....</b>	<b>31</b>
<b>5 MATHEMATICAL MODEL VALIDATION FOR GAS-SOLID FLOW IN VERTICAL PIPE .....</b>	<b>48</b>
<b>6 SIMULATION OF GAS-SOLID FLOW IN AIRLIFT CONVEYOR..</b>	<b>74</b>
<b>7 CONCLUSIONS AND SUGGESTIONS FOR FURTHER WORK....</b>	<b>98</b>
<b>REFERENCES .....</b>	<b>100</b>
<b>APPENDIX A .....</b>	<b>102</b>
<b>APPENDIX B .....</b>	<b>110</b>


  
**สถาบันวิทยบริการ  
จุฬาลงกรณ์มหาวิทยาลัย**

## LIST OF FIGURES

FIGURE	PAGE
1.1 Airlift conveyor diagram.....	2
2.1 Tsuji et al.[1984]'s experimental apparatus diagram.....	5
2.2 Soo et al.[1964]'s concentration measurement diagram.....	6
2.3 Soo et al.[1964]'s concentration distribution.....	6
2.4 Littman et al.[1993]'s experimental apparatus diagram.....	7
2.5 (a). Littman et al.[1993]'s pressure drop profile.....	8
2.5 (b). Littman et al.[1993]'s voidage profile.....	8
2.5 (c). Littman et al.[1993]'s gas phase, particle phase and slip velocity.....	8
2.6 Papai [1955]'s force and velocity diagram in starting section.....	9
2.7 Pita and Sunderesan [1993]'s riser inlet configuration diagram.....	14
4.1 Discretized control volume .....	32
4.2 Staggered grid arrangement .....	32
4.3 Discretized control volume in cylindrical coordinate .....	33
4.4 One dimensional discretized control volume.....	34
4.5 Discretized control volume for x-velocity (e-w) and y-velocity (s-n).....	39
4.6 Representation for line-by-line ADI method.....	42
5.1 PHOENICS COMMANDER structure.....	48
5.2 Axial velocity profiles on radial variation of air and particles in the presence of 200 $\mu\text{m}$ particle, data obtained from Tsuji et al.[1984].....	53
5.3 Axial velocity profiles on radial variation of air and particle in the presence of 500 $\mu\text{m}$ particle, data obtained from Tsuji et al.[1984].....	53
5.4 Turbulence intensity of air in the presence of 200 $\mu\text{m}$ particles obtained from Tsuji et al.[1984].....	54
5.5 Turbulence intensity of air in the presence of 500 $\mu\text{m}$ particles obtained from Tsuji et al.[1984].....	54
5.6 Pressure drop distribution along axial direction in the presence of 500 $\mu\text{m}$ particles.....	55
5.7 Axial velocity profile on radial variation of clean air, comparison of computed result and Tsuji et al.[1984]'s data.....	58
5.8 Turbulence intensity on radial variation of clean air, comparison of computed result and Tsuji et al.[1984]'s data.....	58
5.9 Comparison among various turbulence models against experimental data of axial velocity profiles in radial variation of air and particles in the presence of 200 $\mu\text{m}$ particles, at solid loading ratio = 1.0.....	60
5.10 Comparison among various turbulence models against experimental data of axial velocity profiles in radial variation of air and particle in the presence of 200 $\mu\text{m}$ particles, at solid loading ratio = 2.1.....	60
5.11 Comparison among various turbulence models against experimental data of axial velocity profile in radial variation of air and particles in the presence of 500 $\mu\text{m}$ particles, at solid loading ratio = 1.1.....	62
5.12 Comparison among various turbulence models against experimental data of axial velocity profile in radial variation of air and particles in the presence of 500 $\mu\text{m}$ particles, at solid loading ratio = 2.0.....	62

FIGURE	PAGE
5.13 Comparison among various turbulence models against experimental data of turbulence intensity profile in radial variation of air and particles in the presence of 200 $\mu\text{m}$ particles, at solid loading ratio = 1.3.....	63
5.14 Comparison among various turbulence models against experimental data of turbulence intensity profile in radial variation of air and particles in the presence of 500 $\mu\text{m}$ particles, at solid loading ratio = 1.3.....	63
5.15 Comparison of computed result against experimental data of axial velocity profile of air and particles in the presence of 200 $\mu\text{m}$ particles at solid loading ratio = 1.0, particle shear stress term is included in computation .....	66
5.16 Comparison of computed result against experimental data of axial velocity profile of air and particles in the presence of 200 $\mu\text{m}$ particles at solid loading ratio = 2.1, particle shear stress term is included in computation .....	66
5.17 Comparison of computed result against experimental data of axial velocity profile of air and particles in the presence of 500 $\mu\text{m}$ particles at solid loading ratio = 1.1, particle shear stress term is included in computation .....	67
5.18 Comparison of computed result against experimental data of axial velocity profile of air and particles in the presence of 500 $\mu\text{m}$ particles at solid loading ratio = 2.0, particle shear stress term is included in computation .....	67
5.19 Comparison of computed result against experimental data of turbulence intensity profile of air in the presence of 200 $\mu\text{m}$ particles at solid loading ratio = 1.3, particle shear stress term is included in computation .....	69
5.20 Comparison of computed result against experimental data of turbulence intensity profile of air in the presence of 500 $\mu\text{m}$ particles at solid loading ratio = 1.3, particle shear stress term is included in computation .....	69
5.21 Comparison of computed result against experimental data of pressure drop profile of air-solid mixture at mean air velocity = 14.59 m/s in the presence of 500 $\mu\text{m}$ particles, mass flow rate = $3 \times 10^{-2}$ kg/s .....	70
5.22 Comparison of computed result against experimental data of pressure drop profile of air-solid mixture at mean air velocity = 17.18 m/s in the presence of 500 $\mu\text{m}$ particles, mass flow rate = $3 \times 10^{-2}$ kg/s .....	70
5.23 Comparison of Louge et al. [1991]'s computed result with present computed result and experimental data of velocity profile of air and particles in the presence of 200 $\mu\text{m}$ particles, solid loading ratio = 1.0 .....	71
5.24 Comparison of Louge et al. [1991]'s computed result with present computed result and experimental data of velocity profile of air and particles in the presence of 500 $\mu\text{m}$ particles, solid loading ratio = 1.1 .....	71
5.25 Comparison of Louge et al. [1991]'s computed result with present computed result and experimental data of turbulence intensity profile of air in the presence of 200 $\mu\text{m}$ particles, solid loading ratio = 1.3 .....	72
5.26 Comparison of Louge et al. [1991]'s computed result with present computed result and experimental data of turbulence intensity profile of air in the presence of 500 $\mu\text{m}$ particles, solid loading ratio = 1.3 .....	72
6.1 Feeding section of airlift conveyor .....	75
6.2 Proposed inlet configurations.....	76
6.3 Non-uniform computational radial grids used in airlift simulation.....	78

FIGURE	PAGE
6.4 Computed result of air and particle velocity profiles on radial variation of various airlift inlet configurations at z = 1.00 m.....	81
6.5 Computed result of air and particle velocity profiles on radial variation at of various airlift inlet configurations at z = 2.00 m.....	81
6.6 Computed result of air and particle velocity profiles on radial variation at of various airlift inlet configurations at z = 3.00 m.....	82
6.7 Computed result of air and particle velocity profile on radial variation at of various airlift inlet configurations at z = 4.00 m.....	82
6.8 Computed result of air and particle velocity profile on radial variation at of various airlift inlet configurations at z = 5.00 m.....	83
6.9 Computed result of air and particle velocity profile on radial variation at of various airlift inlet configurations at z = 6.00 m.....	83
6.10 Solid volume fraction contour line for Case A (uniform inlet) at Zmin=0.0 m, Zmax=1.00 m .....	85
6.11 Solid volume fraction contour line for Case A (uniform inlet) at Zmin=0.9 m, Zmax=2.00 m .....	85
6.12 Solid volume fraction contour line for Case A (uniform inlet) at Zmin=1.9 m, Zmax=3.00 m .....	86
6.13 Solid volume fraction contour line for Case A (uniform inlet) at Zmin=2.9 m, Zmax=4.00 m .....	86
6.14 Solid volume fraction contour line for Case B (Mixture-annulus inlet) at Zmin=0.0 m,Zmax=1.00 m .....	87
6.15 Solid volume fraction contour line for Case B (Mixture-annulus inlet) at Zmin=0.9 m,Zmax=2.00 m .....	87
6.16 Solid volume fraction contour line for Case B (Mixture-annulus inlet) at Zmin=1.9 m,Zmax=3.00 m .....	88
6.17 Solid volume fraction contour line for Case B (Mixture-annulus inlet) at Zmin=2.9 m,Zmax=4.00 m .....	88
6.18 Solid volume fraction contour line for Case B (Mixture-annulus inlet) at Zmin=0.0 m,Zmax=1.00 m .....	89
6.19 Solid volume fraction contour line for Case B (Mixture-annulus inlet) at Zmin=0.9 m,Zmax=2.00 m .....	89
6.20 Solid volume fraction contour line for Case B (Mixture-annulus inlet) at Zmin=1.9 m,Zmax=3.00 m .....	90
6.21 Solid volume fraction contour line for Case B (Mixture-annulus inlet) at Zmin=2.9 m,Zmax=4.00 m .....	90
6.22 Solid volume fraction versus axial distance at the computational cell attached to the wall of various inlet configuration.....	91
6.23 Particle Reynolds number versus axial distance at the computational cell attached to the wall of various inlet configurations.....	92
6.24 $\gamma_p \rho_p D_t$ versus axial distance at the computational cell attached to the wall of various inlet configurations.....	92
6.25 Pressure drop profile versus axial distance at the computational cell attached to the wall of various inlet configurations.....	93
6.26 Solid volume fraction versus axial distance at the computational cell attached to the wall of various inlet configuration area.....	94

FIGURE	PAGE
6.27 Particle Reynolds number versus axial distance at the computational cell attached to the wall of various inlet configuration area.....	95
6.28 $\gamma_p \rho_p D_t$ versus axial distance at the computational cell attached to the wall of various inlet configuration area.....	96
6.29 Pressure drop profile versus axial distance at the computational cell attached to the wall of various inlet configuration area .....	96

สถาบันวิทยบริการ  
จุฬาลงกรณ์มหาวิทยาลัย

## LIST OF TABLES

TABLE	PAGE
5.1 Computational domain .....	56
5.2 Fluid and thermodynamic property .....	56
6.1 Pipe geometry .....	74
6.2 Material property of carrier phase for airlift simulation .....	74
6.3 Material property of dispersed phase for airlift simulation.....	75
6.4 Operating condition of airlift conveyor .....	76
6.5 Computational detail of various inlet configuration .....	78

ສ  
ຖ  
າ  
ບ  
ັນ  
ວິ  
ທ  
ຍ  
ບ  
ຣ  
ກ  
າ  
ຮ  
ົ  
ມ  
ກ  
າ  
ດ  
ີ  
ກ  
າ  
ວ  
ິ  
ກ  
າ  
ດ  
ີ  
ກ  
າ  
ວ  
ິ  
ກ  
າ  
ດ  
ີ  
ກ  
າ  
ວ  
ິ  
ກ  
າ  
ດ  
ີ  
ກ  
າ  
ວ  
ິ  
ກ  
າ  
ດ  
ີ  
ກ  
າ  
ວ  
ິ  
ກ  
າ  
ດ  
ີ  
ກ  
າ  
ວ  
ິ  
ກ  
າ  
ດ  
ີ  
ກ  
າ  
ວ  
ິ  
ກ  
າ  
ດ  
ີ  
ກ  
າ  
ວ  
ິ  
ກ  
າ  
ດ  
ີ  
ກ  
າ  
ວ  
ິ  
ກ  
າ  
ດ  
ີ  
ກ  
າ  
ວ  
ິ  
ກ  
າ  
ດ  
ີ  
ກ  
າ  
ວ  
ິ  
ກ  
າ  
ດ  
ີ  
ກ  
າ  
ວ  
ິ  
ກ  
າ  
ດ  
ີ  
ກ  
າ  
ວ  
ິ  
ກ  
າ  
ດ  
ີ  
ກ  
າ  
ວ  
ິ  
ກ  
າ  
ດ  
ີ  
ກ  
າ  
ວ  
ິ  
ກ  
າ  
ດ  
ີ  
ກ  
າ  
ວ  
ິ  
ກ  
າ  
ດ  
ີ  
ກ  
າ  
ວ  
ິ  
ກ  
າ  
ດ  
ີ  
ກ  
າ  
ວ  
ິ  
ກ  
າ  
ດ  
ີ  
ກ  
າ  
ວ  
ິ  
ກ  
າ  
ດ  
ີ  
ກ  
າ  
ວ  
ິ  
ກ  
າ  
ດ  
ີ  
ກ  
າ  
ວ  
ິ  
ກ  
າ  
ດ  
ີ  
ກ  
ଆ  
ବ୍ୟାକ୍  
ପରିମାଣିକ ପତ୍ର



## NOMENCLATURE

$A_k$	Computational cell face area in general control volume equation
$a, b$	Computational coefficient
$C_D$	Drag Coefficient , -
$d_p$	Particle diameter, m
$D$	Pipe diameter
$D_t$	Particle diffusivity, $m^2/s$
$E$	Radial weighted error ,%
$F$	Force per unit volume, $N/m^3$
$f_l$	Lift force per unit mass, $N/kg$
$g$	Acceleration due to gravity, $m/s^2$
$G$	Mass fluxes of flow, $kg/(m^2.s)$
$k$	Kinetic Energy of turbulence, $m^2/s^2$
$M_{pw}$	Mass rate of particle-wall collision per unit area, $kg/m^2s$
$m$	Solid loading ratio
$P$	Instantaneous static Pressure ,Pa
$\bar{P}$	Pipe area average pressure, Pa
$p$	time mean static Pressure, Pa
$p'$	Fluctuation static Pressure, Pa
$r$	Distance in radial direction,m
$Re$	Fluid phase Reynolds number $\rho V_x D / \mu$
$Re_p$	particle Reynolds number , $\rho(V_x - V_p) d_p / \mu$
$S$	Particle shear stress $N/m^2$
$S$	Computational area, $m^2$
$Sc_t$	Phase mass Schmidt number
$T$	Relaxation time constant of interphase momentum transfer, s
$t$	Time , s
$V$	Computational volume, $m^3$
$\bar{V}$	Pipe area average velocity m/s
$V$	Instantaneous velocity, m/s
$v$	time mean velocity, m/s
$v'$	Fluctuation velocity, m/s
$x$	Distance in spatial coordinate of general conservation
$z$	Distance in axial direction, m

### Greek symbols

$\epsilon$	Kinetic energy dissipation rate, $N/(s.m^2)$
$\Gamma$	Instantaneous phase volume fraction ( Phase volume/Total volume)
$\bar{\gamma}$	Pipe area average volume fraction
$\gamma$	Phase volume fraction
$\gamma'$	Fluctuation phase volume fraction
$\phi$	Computational scalar property
$\Phi$	Computational source term

## Greek symbols

$\mu$	Fluid laminar viscosity , Ns/m <sup>2</sup>
$\rho$	Material density, kg/m <sup>3</sup>
$\sigma$	Turbulent diffusivity (Schmidt) number
$T$	Computational diffusivity
$\nu_t$	Kinematic eddy viscosity of the fluid phase, m <sup>2</sup> /s
$\nu_p$	Kinematic eddy viscosity of the particulate phase, m <sup>2</sup> /s
$\Theta$	Granular temperature, m <sup>2</sup> /s <sup>2</sup>
$\xi$	Computational interphase friction coefficient

## Subscript

D	Drag term
e, n, w, s	Computational cell face location
E, N, W, S	Computational grid node location
g	Gas phase value
i	Spatial coordinate in general conservation equation
i	Computational phase
p	Particle phase value
r	Radial direction
w	Wall value
z	Axial direction
1	Carrier phase in general conservation equation
2	Dispersed phase in general conservation equation